

鋼拱橋及鐵筋混凝土拱

第一 章

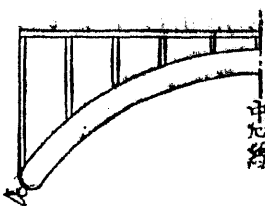
總論

第一節 鋼拱橋ノ分類

凡ソ拱橋ガ他ノ普通ノ橋梁ト異ナル點ノ一ハ、垂直荷重ヲ受クル場合ト雖モ、拱ニアリテハ傾斜セル反動力ヲ生ズルニアリ。

拱橋ノ類別スルニ普通蝶鍵ノ有無ヲ以テシ三種トナス。三鍵拱、二鍵拱及無鍵拱コレナリ。前者ニアリテハ單ニ靜力学ノ定義ニ依リ、其ノ應力ヲ計算スルヲ得ベシト雖モ、後ノ二者ニアリテハ、其ノ應力ヲ算出スルニ靜力学ノ定義ノミニテハ、未知ノ條件ヲ充タスニ足ラズ、別ニ彈性學ノ原理ヲ應用スルヲ要ス。故ニ一名之レヲ彈性拱 (Elastic Arch) ト稱ス。

拱ニ缺圓形アリ、拋物線形アリト雖モ十中八九ハ後者ニ屬ス、蓋シ拋物線ハ平等分布ノ荷重ガ作成セル平衡曲線 (Equilibrium Curve) ニシテ拱橋トシテ最モ利益アル形狀ナレバナリ。



第一圖

拱ヲ組成スル轉曲セル梁ヲ拱肋 (Arch Rib) ト稱ス、又構桁ヨリ組成セル拱ヲ構拱 (Braced Arch) ト謂フ。而シテ構桁ノ上下臥材ガ平行セルモノアリ、又ハ下部ノミ拱形ヲ爲シ、上部ハ水平ナルモノアリ、後者ハ之レヲすばんどれる、ぶ一れすと、あ一ちト稱ス。第一圖及第二圖ハ共ニ二鍵拱ノ一半ヲ示メスモノナレドモ、前者ハ拱肋ノ上ニ單ニ支柱ヲ設置シ、其ノ上ニ桁ヲ並列セルニ過ギズシテ構拱ニアラズ、後者ハ構桁ヨリ組成セル所謂もSpandrel-braced Arch也ナリ。

第二節 平衡多邊形及轉曲率

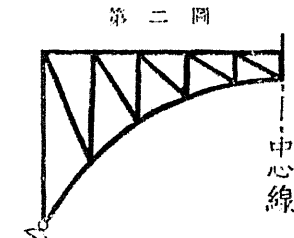
讀者ハ靜力学ノ定義ヲ知悉セルモノト假定ス、今之ヲ列記スレバ次ノ如シ。

- (一) 水平力ノ代數的總和ハ零ナリ。
- (二) 垂直力ノ代數的總和ハ零ナリ。
- (三) 力率ノ代數的總和ハ零ナリ。

算式ヲ以テ之レヲ記スレバ

- (1) $\Sigma \text{hor. forces} = 0$
- (2) $\Sigma \text{Vert. forces} = 0$
- (3) $\Sigma \text{moments} = 0$

以上ノ三定義ハ力ノ働きツハアル構造物ノ如何ニ係



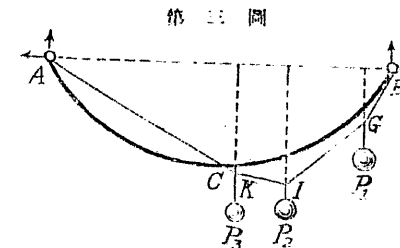
第二圖

中心線

ハラズ其ノ平衡ヲ保持スル上ニ於テ必ズ成立スペキ條件ナリ而シテ其示力圖(Force Diagram)ハ必ズ閉塞スペキモノトス(註示力圖トハ力ノ量ニ比例シテ其動キツ、アル方向ニ平行セル線ナ引キ互ニ之ヲ接續シテ帶ケル圖)換言スレハ茲ニ閉塞セル示力圖アリテ其ノ邊ハ與ヘラレタル力ノ方向ニ平行シ其長ハ力ノ量ニ比例スルモノトセバ此ノ如キ力ハ共ニ平衡ヲ保持スルモノニシテ若シ此等力ノ働く位置ガ與ヘラレタル場合ニハ直ニ平衡多邊形(Equilibrium Polygon)ヲ畫クコトヲ得ベシ今之レヲ拱ニ應用シテ説明セントス。

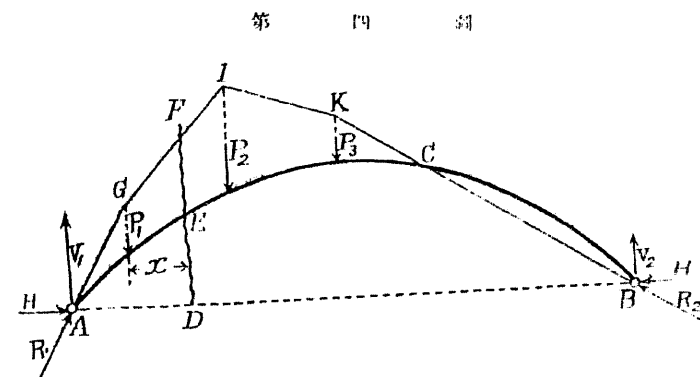
拱橋ニアリテハ外力ハ主ニ垂直ニシテ且互ニ平行ナリ之ニ屬スル平衡多邊形ヲ論ズルニ當リテハ説明ノ捷徑トシテ先づ兩端ヨリ中央ニ吊リ下ダラレタル絲ノ例ヲ以テスルニ若カズ是レ恰モ拱ト正反對ノ現象ヲ呈スルモノナリ茲ニ兩端 AB (第三圖)ニ於テ蝶番ヲ裝置セル回轉自由ナル線ニ $P_1P_2P_3$ ナル重量ガ懸ルモノト假定セヨ若シ此線ニシテ易撓性ヲ有シ變形自在ナレバ自然

第三圖 AKIGB の如キ
或ル形ヲ作成スペシ此
形コソ此等重量ニ該當
スル所謂平衡多邊形ナ
リ去リナガラ若シ此線
ニシテ鋼製ノ帶ノ如ク不撓性ヲ有スル物質タラシメバ
如何ナル形ヲ作スペキヤト云フニ其場合ニハ單ニ其平



衡多邊形ニ變セントスル傾向ヲ有スルニ止マクノミニシテ未ダ全ク其形ヲ作成スル能ハズ從テ茲ニ轉曲セントスル傾向ヲ生ズ例へハ第三圖 A 點ト C 點トノ間ニアリテハ此帶ハ AC ナル直線ニ接近セントシテ益々内部へ扁平タラントシ C 點ト B 點トノ間ニアリテハ CKIGB ナル曲線ニ接近セントシテ外部へ凸出セントス然ルニ C 點ニ於テハ恰モ帶ト平衡多邊形ト交切スルガ故ニ茲ニハ何等轉曲セントスル傾向ナキモノトス換言スレバ C 點ニ於テハ轉曲率ハ零ナリ C 點ヲ境界トシ其兩側ニ於テハ該力率ノ性質ヲ異ニシ一方ニ於テハ正 (+) ナリ他方ニ於テハ負 (-) ナリ。

以上ノ例ハ吊リ下ダタル絲或ハ帶ヲ以テセリ今之ヲ正反對ノ位置ニ顛倒スル時ハ第四圖ニ示メス如キ二個ノ蝶鉗ヲ有スル拱ヲ作スペシ ACB 線ハ此二鉗拱肋ノ中心線ニシテ之ニ働く外力ヲ $P_1P_2P_3$ ナル垂直力トス然



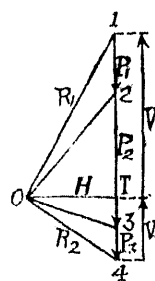
此時ハ拱臺ニ於ケル各蝶鉸ニ於テ $R_1 R_2$ ナル反動力ヲ生ズ。此反動力ヲ水平分力ト垂直分力トニ分解スレバ R_1 ハ H_1 ト V_1 トヨリ成リ R_2 ハ H_2 ト V_2 トヨリ成ルモノトス。

静力学ノ定義ニ依リ水平力ノ代數的總和ハ零ナル故ニ $H_i - H_j = 0$ 即 $H_i = H_j$ ニシテ其方向ヲ異ニス。之ヲ H ヲ以テ表ハス。今或ル方法ヲ以テ此等反動力ノ方向ト其値ヲ求メタルモノト假定セバ其分力 $V_1 V_2$ 及 H ヲ直チニ知ルコトヲ得ベシ。

又靜力學ノ定義ニ依リ垂直力ノ代數的總和ハ零ナル
故ニ $V_1 + V_2 = P_1 + P_2 + P_3$ ナリ而シテ其示力
圖ヲ畫ケハ第五圖ニ示メス如シ之ヲ譯ス
レハ $R_1 + P_1$ トノ結果ハ O2 ヲ以テ表ハシ、
 $R_1 + P_1 P_2$ トノ結果ハ O3 ヲ以テ $R_1 + P_1 P_2 P_3$
トノ結果ハ O4 卽 R_1 ヲ以テ表ハシ得ルモ
ノニシテ、O 點ヲ名付ケテ極點 (Pole) ト
謂ヒ、OT ノ極點距離 (Pole distance) ト云ヒ、
H ノ以テ之ヲ記ス。

此示力圖ヨリ平衡多邊形ヲ畫ケバ第四圖ノ AG ヲ第五圖ノ GI = 平行ニ、 GI ヲ O2 = 、 JK ヲ O3 = 、 KB ヲ O4 = 平行ニ、順次 B = 及ボスベシ、終リニ B ト A トヲ結合スベシ、 AB ヲ閉塞線 (Closing line) ト稱ス、斯ノ如クシテ畫カレタル AGIKB ナル所謂平衡多邊形ナルモノハ拱ニ働ク外力ノ結果即推力 (Thrust) ガ働キツ、アル途ト其

第五圖



方向ヲ示メスモノナリ。

今茲ニ任意ニ拱ノ E 點(第四圖)ヲ通シテ DEF ナル垂直断面ヲ假設シ E 點ニ於ケル弯曲率如何ヲ考フルニ此断面ヨリ左方ニ働くキツ、アル外力ハ V_1 、H 及 P_1 の三力ノミニシテ、 V_1 及 H ハ A 點ニ於ル反動力ノ分力ナリ、又 E 點ヨリ P_1 ニ至ル水平距離ヲトスレバ E 點ニ於ケル弯曲率 M_1 ($=$ 任 意 断 面 ヨリ 左 方 ニ ア ル) ハ

$$M_r \equiv V_r A D = P_r x + H DE$$

文 F 點 = 於 κ 曲率八

$$M_r \equiv V_{r,r}AD - P_{r,r} - H_rDF$$

ナリ然ルニ上點ハ平衡多邊形中ノ一點ナルガ故ニ爰ニ
ハ轉曲スペキ傾向ナキモノトス故ニ M_r ハ零ナラザル
可ラズ然ラバ

$$V_x \Delta D = P_x x \equiv H_x D F$$

ミシテウヲ (a) 式中三代入スレバ

$$M_2 \equiv H_2 DE = H_2 DE = H_2 E F$$

トナル、依テ吾人ハ之ヲノ肝要ナル定義トシテ左ノ如
ク言明スペシ。

「或ル垂直力ノ働くキツ、アル拱肋ノ或ル一點ニ於ル特
曲率ハ該點ヨリ平衡多邊形ニ至ル垂直距離ニ其示力
圖ノ示メス當該極點距離ヲ乘シタル積ニ等シ。」

以上ハニ鍛拱ノ例ニシテ、A 及 B ニ於ル反動力若クハ其分力ハ或ル方法ヲ以テ之ヲ發見シ、而シテ之ニ依リ

テ示力圖及平衡多邊形ヲ畫キタルモノト假定セリ。然レドモ極點ナルモノ、位置未定ニシテ、若シ任意ニ之ヲ假定シ得ルモノトスレバ、無數ノ示力圖ト無數ノ平衡多邊形トヲ畫クコトヲ得テ畢竟究極ナシ。只ニ鉛拱ニアリテハ A 及 B 點ハ其平衡多邊形中ニ在ルベキコトヲ知ルノミ。

普通ノ橋梁ニ於テハ橋桁ガ水平ニ移動スルコトヲ妨ゲザル裝置ヲ有スルガ故ニ、此極點距離ナルモノハ橋桁ノ應力ニ直接ノ關係ヲ有セズト雖モ、拱橋ニ於テハ然ラズシテ此極點距離ハ實際ニ拱ニ働キツ、アル水平推力 (Horizontal Thrust) ヲ示サザル可ラズ、從テ此 H の真價ヲ求ムルコトハ拱ニ關スル問題ノ一ナリトス。若シ夫レ H の真價ヲ知ル以上ハ、之レニ該當スル平行多邊形ヲ畫クコトハ容易ナリトス。又一度ビ平衡多邊形ヲ畫キタル以上ハ、或ル任意ノ點ニ於ル力率ノ總和即彎曲率ハ前述ノ如ク容易ニ之ヲ求ムルコトヲ得ベシ。

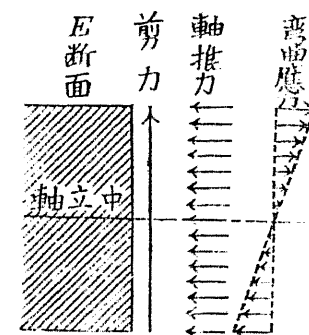
第三節 拱ニ於ル應力ヲ論ズ

第四圖 E ニ於テ拱軸ニ直角ナル横斷面ヲ採リ之ニ働キツ、アル應力如何ヲ視ルニ GI ナル線ハ此斷面ヨリ左方ニアル總テノ合成功力ノ方向ヲ示メシ其力量ハ示力圖ニ於テ O2 ナルガ故ニ HV_i 及 P_i ナル外力ガ個々ニ此横斷面ニ起コス應力ハ單ニ O2 ナル一個ノ力ガ GI ナル

線ニ沿フテ働キツ、起コス時ノ應力ト毫モ異ナルコトナシ換言スレバ O2 ナル力ガ GI = 沿フテ働キツ、アルモノト假定スレバ之ニ抵抗シテ以テ平衡ヲ保持スル正ノハ拱ノ内部即 E 斷面ニ於ル應力ナリ此應力ハ三種ヨリ成ル一ハ其斷面ニ直角ニ即 E 軸ニ於ル正切ニ平行シテ働キツ、平等ニ分布サレタル直應力、一名軸推力二ハ斷面ニ平行シ即 E 軸ニ於ル正切ニ直角ニ働キツ、アル剪力三ハ彎曲率ニ屬スル彎曲應力是ナリ此三種ノ應力が E 斷面ニ働キツ、アル作用ヲ圖解スレバ第六圖ニ示ス。如シ語ヲ以テ之ヲ云ヘバ(一)拱軸ニ於ル正切ニ平行ナル分力ノ和ハ軸推力ニ等シ(二)拱軸ニ於ル正切ニ直角ナル分力ノ和ハ剪力ニ等シ(三)拱軸ノ中心トセル外力ノ力率ノ和ハ彎曲應力ノ力率ノ和ニ等シ。

第七圖甲乙ハ E ナル斷面ヨリ左方ニ働ク外力 V_i H 及 P_i = 對スル平衡多邊形及其示力圖ヲ示ス。今乙圖 O2 ナル力量ヲ F_i ヲ以テ表ハシ、拱軸ニ於ル正切ノ方向ニ働ク軸推力ヲ T_i ヲ以テ表ハシ、GI 線ト左ニ於ル正切トガ互ニ為セル角度ヲ α ヲ以テ表ハシ正切ニ直角ニ働ク剪力ヲ S_i ヲ以テ表ハス時ハ乙圖 42 ハ T_i = シテ O4 ハ S_i ナリ

第一六圖



式ヲ以テ之ヲ記スレバ

Figure 1. The H_2O_2 -catalyzed reduction of Fe^{3+} by Fe^{2+} .

又力車の中心ヨリ横軸正點ニ採レバ

$$M \cdot H_{\text{max}} \leq \mu_{\text{max}} \cdot \mu_{\text{min}} \quad (3)$$

式中且、極點距離即水平推力ニシテハ力率ノ中心ヨリ平衡多邊形ニ至ル垂直距離ナリ。

正則ガ平衡多邊形ノ一邊ニ平行スル拱軸ノ或點ニ於テハ々ハ零ニシテ軸推力ハ最大トナリ剪力ハ零トナル而シテ轉曲率ハ最大若クハ最小トナルベシ換言スレバ垂直距離ガ最大若クハ最小トナルベシ斯ノ如ク一度示力圖及平衡多邊形ヲ基キタリ以上ハ或點ニ於ル軸推力 T 、剪力 S 及轉曲率 M ハ容易ニ之ヲ求ムルコトヲ得ベ

以上、公式中記述の矩形若クハ工形ヲ有スル掛體

々應用スル場合ニハ、其申立軸ニ對シテ直ニ之ヲ適用ス
ルヲ得ベシト雖モ構拱ニアリテハ反テ普通ノ截断法
(Method of Section)ヲ用ユガヨ便ナリトスルコトアリ有
之ヲ説明セン。

版腹拱 (Plate webbed arch) ニアリテハ軸推力及斜曲率ハ總テ突緣 (flange) ニ於テ之ヲ負擔シ剪力ハ版腹 (web)ニ於テ之ヲ負擔スルモノトスルヨ普通ノ假定トス。

第八圖、版腹拱之橫斷面示

ス今八〇一突縁ノ断面積トシハ

*2 球面應力ノ強度トシ上空縁ノ

压力ヲ受ケ下空縫ハ張力ヲ受ケ

ルモノト假定シ第(1)式ニ依リ軸

推力 T を求めるアルゴリズムを次に示す。

上空緣之總應壓力 = $1T + \Delta$

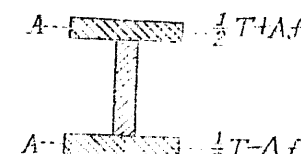
下空緣之納應張力 = 1T = 16

又截断法の構造は鷹川セシルの次に如る。

第九圖 三於三六樓排之臥林並平

行スルモノト假定ス先づ之ヲ以テ
 ヲ以テ截断シ上臥材 AB = 於ケル
 壓力ヲ算出スルニハ C 點ニ力率ノ
 中心ヲ探ルヲ要ス而シテ其彎曲率
 ヲ AB の挺率卽構拱ノ深ルヲ以テ
 除スペシ M_c ヲ C ヲ中心トセル時

第八回



曲率トスレバ

$$AB = \text{於ル總應力} = M_c + d = Hz' + d$$

又下臥材 DC の應力ヲ算出スルニハ力率ノ中心ヲ A 点ニ持ルヲ要ス依テ

$$CD = \text{於ル總應力} = Hz'' + d$$

斜材 AC' = 於テ拱軸ニ直角ナル分力ハ即チ剪力ニシテ = $F \sin \alpha$ ナリ。

若シ臥材ガ平行ナラザル場合ニ斜材 AC' の應力ヲ算出セントセバ AB ト DC トノ交切點ヲ中心トセル F ノ彎曲率ヲ採リ之ヲ AC' の挺率ニテ除スベシ。

此法ハ「形ノ拱ニ應用シテモ亦便ナリ即チ次ノ如シ。

第十圖 B點ヲ中心トセルFノ轉曲率 $M_n = F$ 挺率 = H ナリ依テ

$$A = \text{於ル應力} = \frac{M_n}{d} = \frac{H z'}{d}$$

$$B = \text{於ル應力} = \frac{H z''}{d}$$

然ルニ此ノ若クハゾナル垂直距離ハ平衡多邊形ヲ畫キタル以上ハ容易ニ圖算スルコトヲ得レドモ未だ平衡多邊形ヲ準備セザル場合ニハ左ノ如クシテ求ムルヲ便ナリトス。

拱ノ理論ヨリ算出セル彎曲率 M ハ普通其中心ヲ拱軸ニ採ルヲ以テ此 M ヲ H ヲ以テ除スレバ拱軸ヨリ平衡

多邊形ニ至ル垂直距離ヲ得ベシ即

$$\frac{M}{H} = z \text{ ナリ。}$$

今第十一圖ニ於テ拱ノ垂直深 h

トスレバ h ハ拱軸ヨリ突緣ニ至ル垂直距離ナリ故ニ

$$\left(z - \frac{h}{2} \right) \text{ 及 } \left(z + \frac{h}{2} \right)$$

ハ平衡多邊形ヨリ A' 及 B' = 至ル垂直距離ナルベシ故ニ

$$M_n = H \left(z - \frac{h}{2} \right)$$

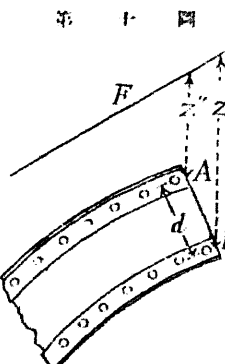
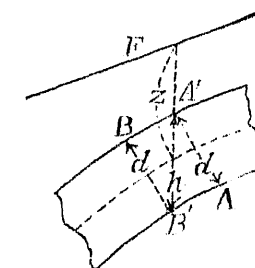
$$M_n' = H \left(z + \frac{h}{2} \right)$$

ヲ得之ヲ深 h ヲ以テ除スレバ A' 及 B' ノ正反対ノ側 A 及 B = 於ケル應力ヲ得ベシ。

此ノ如ク反対ノ側ニアル點ヲ中心トシテ彎曲率ヲ取り之レニ由リテ算出セル突緣應力ハ其内ニ軸推力及彎曲應力ヲ含有スルヲ以テ特ニ軸推力ヲ求ムルノ必要ナシ若シ夫レ力率ノ中心ヲ拱軸ニ採リタル場合ニアリテハ前述ノ如ク別ニ軸推力ヲ求メ之ニ彎曲應力ヲ加減シテ突緣ノ總應力トスベシ。

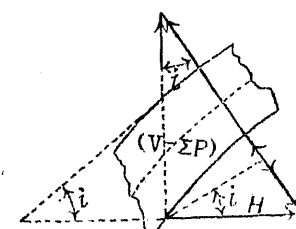
又或ル斷面ヨリ左方ニ働く總テノ外力 V_1 H 及 P ガ與ヘラレタル場合ニ其拱軸ニ於ル正切ガ水平線ト

第十一圖



第十二圖

第十三圖



爲ス角度ヲニヨ以テ長ハストスレバ該断面ニ直角ナル
剪力ハ第十二圖ニ於テ見ル如ク左ノ式ヲ以テ求ムルコ
トヲ得ルハ説明ヲ要セズシテ明瞭ナルベシ。

$$\text{剪力} = (V - \sum P) \cos i - H \sin i$$

第四節 けるん點ヲ中心トセル轉曲率及拱肋ノ最大應力強度ヲ論ズ

拱肋ガ軸推力 T ヲ受クルモノトシ別ニ弾曲率 M ヲ
受クル場合ニ於テ拱ノ横断面積ヲ A トシ其上部ノ張力
・其下部ノ張力ヲ受クル時ニ其拱ニ起ル最大應力強度
ハ左ノ式ヲ以テ計算スルコトヲ得。

$$f_t = \frac{T}{A} + \frac{My_t}{J} - \frac{T}{A} + \frac{M}{W_t} \dots \dots \dots \quad (a)$$

$$f_2 = \frac{T}{A} - \frac{My_2}{I} = \frac{T}{A} - \frac{M}{W_2} \dots \dots \dots (b)$$

式中 γ_1 は中立軸ヨリ上部ノ最モ遠キ距離 y_1 ニアル繊維ノ受クル最大應壓力强度, γ_2 は同下部ノ最モ遠キ距離 y_2 ニアル繊維ノ受クル最大應張力强度, W_1 及 W_2 ハ断面率, I ハ慣率ナリ。

ヲ以テ惰動半徑トスレバ $r = \sqrt{A}$

故ニ (a) (b) 式ハ左ノ如ク變ス。

$$f_1 = \frac{\text{Tr}^2 + M y_1}{1} \dots (c) \quad f_2 = \frac{\text{Tr}^2 - M y_2}{1} \dots (d)$$

第十三圖ニ於テ中立軸ヲ中心トシテ力率ヲ採レバ

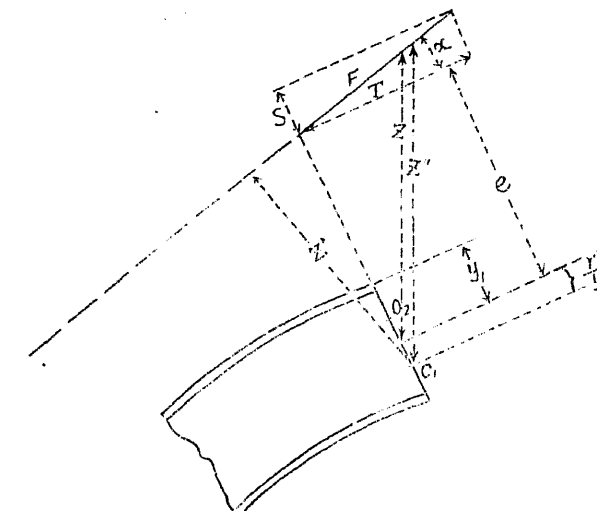
$$M = fLz = Te$$

モル故ニ(ノ)式ハ左ノ如ク變ズ。

$$j_1 = \frac{T(r^2 + e y_1)}{J} = \frac{T\left(\frac{r^2}{y_1} + e\right)y_1}{J} = \frac{T\left(\frac{r^2}{y_1} + e\right)}{W_1}$$

式中 $\left(\frac{r^2}{y_1} + c\right)$ は長サニシテ $T\left(\frac{r^2}{y_1} + c\right)$ は力率ナリ。

第十三圖



今中立軸以下ニ於テ $\frac{r^2}{y_1}$ ナル距離ヲ採リ O_1 ナル點ヲ
定メ之レヲ中心トシテ彎曲率ヲ採レバ

$$M_1' = T\left(c + \frac{r^2}{y_1}\right) = F \times z' = Hz'$$

ヲ得此 O_1 ナル點ヲ斷面ノけるん點 (Kern point) ト云ヒ
 r^2
 y_1 ナル距離ヲけるん半徑 (Kern radius) ト稱シ普通 k ナ
 以テ之ヲ表ハス、同様ニ中立軸ヨリ上部ニ於テ距離

ノ點ニ第二ノけるん點 O_1 ヲ定メ之ヲ中心トセル M_1' ノ
值ヲ得ベシ然ル時ハ

$$f_1 = \frac{M_1' y_1}{I} = \frac{M_1}{W_1} \quad f_2 = \frac{M_2' y_2}{I} = \frac{M_2}{W_2}$$

若シ $\frac{T}{A} > \frac{M}{W}$ 即 $k > e$ ナレバ此斷面ノ何レノ部分ニモ

應壓力ノミヲ生ズベク又 $\frac{T}{A} < \frac{M}{W}$ 即 $k < e$ ナレバ此斷面
ノ一方ニ應張力ヲ生ジ他方ニハ應壓力ヲ生ズベシ。